

КРАТКИЕ СООБЩЕНИЯ

К ДИФФУЗИОННО-ТЕПЛОВОЙ УСТОЙЧИВОСТИ
ЛАМИНАРНОГО ФРОНТА ПЛАМЕНИ

П. П. Лазарев, А. С. Плешанов

Решение данной задачи, полученное в [1] в предположении непрерывности температуры T и ведущей массовой концентрации реагирующего вещества c на разрыве (фронте пламени) для длин волн возмущений Λ , больших по сравнению с ширинами зон теплопроводности δ_t и диффузии δ_d , дало критерий устойчивости

$$L = D/\chi \ll 1,$$

где D и χ — коэффициенты диффузии и температуропроводности соответственно; L — число Льюиса. Здесь приводится точное решение этой задачи с учетом разрывов T и c для произвольных Λ . Впрочем концепция разрыва предполагает, что $\Lambda > \delta_r$, где δ_r — ширина зоны химической реакции.

Если u — нормальная скорость горения, то из известных оценок

$$\delta_t \sim u\tau_t \sim \chi/u, \quad \delta_r \sim u\tau_r,$$

где τ — соответствующие времена, следует

$$\delta_r/\delta_t \sim \tau_r/\tau_t \sim \tau_r u^2/\chi.$$

С другой стороны, согласно [2], $u^2 \sim \chi/\tau_r \cdot \delta T_r/T_r$, так что для δ_r/δ_t имеем оценку $\delta_r/\delta_t \sim \delta T_r/T_r$,

где δT_r — изменение T во фронте пламени. При достаточно большой энергии активации химической реакции E имеет место оценка [2]

$$\delta T_r/T_r \sim RT_r/E \ll 1; \quad (1)$$

где R — газовая постоянная. Учитывая приближение [2]

$$\delta T_r/T_r \approx -L\delta c_r/c_0, \quad (2)$$

где c_0 — начальная концентрация, имеем для $|\delta c_r/c_0|$ тоже оценку (1).

Таким образом непрерывность T и c во фронте пламени, использованная в [1], соблюдается при критерии $M \sim RT_r/E \rightarrow 0$. В следующем приближении разрывы T и c пропорциональны $M > 0$.

Запишем оценки (1), (2) в виде соотношений

$$(T_{2,+0} - T_{1,-0}) / (T_{2,+0} - T_{1,-\infty}) = L \cdot (c_{1,-0} - c_{2,+0}) / (c_{1,-\infty} - c_{2,+0}) = \alpha LM, \quad (3)$$

где индексы 1, 2 относятся к свежей смеси и продуктам сгорания соответственно, вторые индексы указывают значения координаты (0 — фронт пламени), $\alpha > 0$ — коэффициент. Выражение (3) представляет формулировку приближения (2), согласно [2]. В коэффициенте про-

порциональности в (3) выделен множитель L , чтобы обеспечить необходимую непрерывность T при $L \rightarrow 0$. Выражения (3) заменяют граничные условия непрерывности T и c . Строго говоря, соотношения (3) верны лишь для стационарного фронта пламени, однако при достаточном малых M применимо квазистационарное описание этого тонкого разрыва.

Следующее граничное условие есть условие непрерывности полного теплового потока

$$\{j(c_p T + qc) - (\kappa \cdot \partial T / \partial x + q\rho D \cdot \partial c / \partial x)\} = 0, \quad (4)$$

где $j = \rho_1 u_1 = \rho_2 u_2$ — поток массы; ρ — плотность; c_p — теплоемкость; q — тепловой эффект реакции на единицу массы; κ — коэффициент теплопроводности; x — координата, нормальная к разрыву; $\{f\} \equiv f_{2,+0} - f_{1,-0}$. Условие (4) сводится к аналогичному условию [1] в случае непрерывности T и c .

Последнее граничное условие заключается в совпадении полных потоков реагирующего вещества при $x = -\infty, -0$, т. е.

$$jc_{1,-\infty} = jc_{1,-0} - \rho_1 D_1 \cdot \partial c_{1,-0} / \partial x. \quad (5)$$

Граничные условия (3) — (5) варьируются на разрыве, амплитуда возмущения которого ξ' , при этом в линейном приближении

$$f(\xi') = f_0^c + (\partial f_0^c / \partial x \cdot \xi' + f_0^c) \equiv f_0^c + \delta f_0; \quad (6)$$

$$\partial f / \partial x(\xi') = \partial f_0^c / \partial x + [(\partial^2 f_0^c / \partial x^2) \xi' + (\partial f_0^c / \partial x)] = \partial f_0^c / \partial x + \partial \delta f_0 / \partial x.$$

Здесь и далее верхний индекс 0 относится к стационарному состоянию, штрих — к возмущениям. Стационарные решения имеют вид

$$\begin{aligned} T_1^0 &= T_{1,-\infty} + \Delta T_1 e^{l_1^0 x}, & T_2^0 &= T_{2,+0} = T_{2,+\infty}; \\ c_1^0 &= c_{1,-0} + \Delta c_1 (1 - e^{l_3^0 x}), & c_2^0 &= c_{2,+0} = c_{2,+\infty}, \end{aligned} \quad (7)$$

где $\Delta T_1 = T_{1,-0} - T_{1,-\infty}$, $\Delta c_1 = c_{1,-\infty} - c_{1,-0}$; $l_1^0 = u_1 / \chi_1$, $l_3^0 = u_1 / D_1$. Как и в [1], предполагается, что ведущая химическая компонента находится в недостатке, так что $c_2 = 0$. Величины в (7) при совпадающих c_p связаны балансом энергии

$$qc_{1,-\infty} = c_p(T_{2,+\infty} - T_{1,\infty}) = c_p \Delta T_1 (1 - \alpha LM)^{-1}, \quad (8)$$

где использовано условие (3).

Если считать $M = R \Delta T_1 / E$, то возмущенные условия (3) с учетом (8) имеют вид

$$\delta T_{2,+0} = \delta T_{1,-0} (1 - \alpha LM)^{-2}, \quad \delta c_{1,-0} / \Delta c_1 = \alpha M / (1 - \alpha M) \cdot \delta T_{1,-0} / \Delta T_1. \quad (9)$$

Возмущение j таково:

$$\delta j / j = 1/2 M \cdot \delta T_{1,-0} / \Delta T_1, \quad (10)$$

где M в знаменателе появился из-за сильной (арренусовской) зависимости j от T .

Возмущенные условия (4), (5) имеют вид

$$\begin{aligned} & \left\{ [\delta j(c_p T + qc) + j(c_p \delta T + q \delta c)] - \left(\kappa \frac{\partial \delta T}{\partial x} + q\rho D \frac{\partial \delta c}{\partial x} \right) \right\}_{1,-0} = \\ & = \left[(\delta j c_p T + j c_p \delta T) - \kappa \frac{\partial \delta T}{\partial x} \right]_{2,+0}; \end{aligned} \quad (11)$$

$$\delta j c_{1,-\infty} = [(\delta j c + j \delta c) - \rho D \cdot \partial \delta c / \partial x]_{1,-0}. \quad (12)$$

Здесь предполагается независимость δ_j от координаты, что соответствует квазистационарному уравнению непрерывности $\partial \delta_j / \partial x = 0$.

Пусть поверхность разрыва меняется пропорционально $\exp(iky + \Omega t)$, где y — координата вдоль разрыва, k — волновой вектор задающего возмущения ($\text{Im}(k) = 0$), $\Omega = -i\omega$ (ω — частота). Тогда в обе стороны от разрыва будут распространяться температурные волны, пропорциональные $\exp(l_{1,2}x +iky + \Omega t)$, и в свежую смесь — концентрационная волна с множителем $\exp(l_3x +iky + \Omega t)$. Физический смысл имеют, очевидно, решения с $\text{Re}(l_1), \text{Re}(l_3) > 0$ и $\text{Re}(l_2) < 0$. Условие устойчивости имеет вид $\text{Re}(\Omega) < 0$.

Условия (9) — (12) после подстановки в них выражений (6) дают характеристическое уравнение ($i_2^0 = u_2/\chi_2$)

$$\left(\frac{l_3}{l_3^0} - 1\right) \left\{ 1 - 2M \left[\beta_1 \left(\frac{l_1}{l_1^0} - 1\right) - \beta_2 \left(\frac{l_2}{l_2^0} - 1\right) \right] \right\} = L \left(\frac{l_1}{l_1^0} - 1\right); \quad (13)$$

$$\beta_1 = [1 + \alpha(L-1)M]/(1-\alpha M) \geq 1, \quad \beta_2 = (1-\alpha LM)^{-2} \geq 1,$$

которое при линеаризации по M , когда $\alpha = 0$ и, следовательно, $\beta_1 = \beta_2 = 1$, совпадает с соответствующим уравнением [1]. Таким образом, учет разрывов T и c в линейном приближении по малому параметру M не меняет области устойчивости.

Дисперсионные уравнения для волновых чисел, получающиеся из уравнений теплопроводности и диффузии после подстановки в них экспоненциальных решений, имеют вид

$$z_m + \omega_m = \frac{1}{2}(\omega_m^2 - \lambda_m^2), \quad (14)$$

где $m = 1, 2, 3$;

$$z_m = 2 \frac{\Omega}{u_m^0}; \quad \omega_m = 2 \frac{l_m}{l_m^0}; \quad \lambda_m = 2 \frac{k}{l_m^0}, \quad (15)$$

при этом очевидно

$$z_2/z_1 = \rho_2 \kappa_2 / \rho_1 \kappa_1 = \mu; \quad z_3/z_1 = L;$$

$$\lambda_2/\lambda_1 = \kappa_2/\kappa_1, \quad \lambda_3/\lambda_1 = L.$$

Используя (15), преобразуем (13) к виду

$$(\omega_3 - 2) \{ 1 - M[\beta_1(\omega_1 - 2) - \beta_2(\omega_2 - 2)] \} = L(\omega_1 - 2). \quad (16)$$

Для суждения о виде области устойчивости рассмотрим частные аналитические решения системы (14), (16).

При $M = 0$ существует неустойчивое решение вида

$$z_1 = \lambda_1, \quad \omega_1 = 2 + \lambda_1, \quad \omega_2 = 1 - \sqrt{1 + 2\mu\lambda_1 + \lambda_2^2}, \quad \omega_3 = 2 + \lambda_3.$$

При $L = 1$ и $\alpha = 0$ имеются только устойчивые решения:

$$1) \quad z_1 = -1/2\lambda_1^2, \quad \omega_1 = \omega_3 = 2, \quad \omega_2 = 1 - \sqrt{1 - \mu\lambda_1^2 + \lambda_2^2},$$

имеющие смысл при $\chi_2 \geq \chi_1$;

2) $z_1 = -1/2\lambda_1^2, \omega_1 = \omega_2 = \omega_3 = 0$, верное при $\chi_1 = \chi_2$. Рассматривая частные ситуации при $L = \alpha = 0$ типа $\lambda_m = 0$ и $\mu = 0$ или равные 1, можно убедиться, что при $0 < M < M_*$ имеется неустойчивое решение, а при $M_* < M < \infty$ — только устойчивые. И, наконец, можно показать, что решения с $z_1 = 0$ не существуют при $0 < L < 1$.

Таким образом, в полосе $0 < L < 1$ и $M > 0$ имеется граница области устойчивости, выходящая из точки $(1, 0)$ и пересекающая вертикаль $L = 0$ в некоторой точке $M = M_*$. Эта граница соответствует условию $\text{Re}(\Omega) = \text{Re}(z_m) = 0$ и находится следующим образом.

Пусть

$$z_m = x_m + iy_m; \quad \omega_m = u_m + i v_m.$$

Тогда из (14) при $x_m = 0$ имеем

$$u_1 = 1 + v_1; \quad u_2 = 1 - v_2; \quad u_3 = 1 + v_3;$$

$$v_1 = y_1/v_1, \quad v_2 = -y_2/v_2; \quad v_3 = y_3/v_3,$$

где параметры $v_m > 1$ находятся из уравнений

$$v_m^2 = 1 + \lambda_m^2 + y_m^2/v_m^2,$$

так что все величины параметрически выражаются, например, через y_1 .

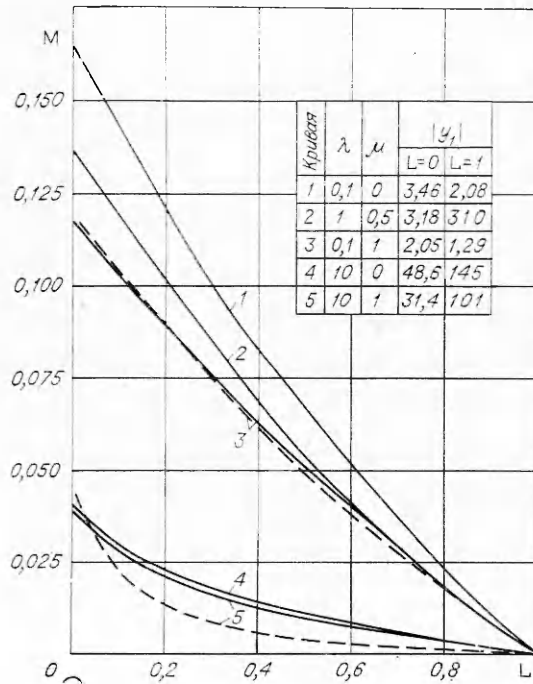
Отделяя действительную и мнимую части (16) и выражая через них M , получим

$$M = M_1 = \frac{1/v_2 - 1/v_1}{\frac{1}{v_3} [\beta_1 (v_1 - 1) + \beta_2 (v_2 + 1)] + \left(\frac{\beta_1}{v_1} + \mu \frac{\beta_2}{v_2} \right) \frac{v_3 - 1}{L}} = M_2 =$$

$$= \frac{(v_1 - 1) - (v_3 - 1)/L}{\frac{1}{v_3} \left(\frac{\beta_1}{v_1} + \mu \frac{\beta_2}{v_2} \right) y_1^2 - [\beta_1 (v_1 - 1) + \beta_2 (v_2 + 1)] \frac{v_3 - 1}{L}}. \quad (17)$$

Из (17) следует, что необходимая неотрицательность M имеет место лишь для значений $L \leq 1$, так что область устойчивости возможна лишь для $L \leq 1$, в то время как приближенное рассмотрение [1] допускало устойчивость и при малом превышении L над 1. При заданных λ_m и μ функции $M_{1,2}$ зависят от $|y_1|$ и L . Решение системы (17) сводилось к нахождению областей изменения параметра $|y_1|$, в которых величины $M_{1,2}$, как функции L , имеют точки пересечения.

Результаты расчета границы устойчивости при $\alpha = 0$ и $\kappa_1 = \kappa_2$ для пяти комбинаций значений $\lambda = \lambda_1 = \lambda_2$ и $0 \leq \mu = \rho_2/\rho_1 \leq 1$ представлены



на рисунке. Отметим прежде всего, что граничные значения M являются достаточно малыми в широком диапазоне изменения λ и μ . Это, безусловно, необходимо для корректности теории [1] и изложенной здесь ее модификации. Если условно считать предельным максимальным значением M величину 0,1, то область устойчивости представляет собой криволинейный треугольник со сторонами $L=1$, $M=0,1$ и расчетной кривой $M = M(L, \lambda, \mu)$.

В таблице на рисунке помещены граничные значения $|y_1|$. Отметим, что для точки 2 величина $|y_1|$ вдоль границы меняется немонотонно: при $L \approx 0,3$ достигается минимум $|y_1| \approx 2,8$. Из рисунка следует, что имеют место неравенства

$$(\partial M/\partial L)_{\lambda, \mu}; (\partial M/\partial \lambda)_{L, \mu}; (\partial M/\partial \mu)_{L, \lambda} < 0.$$

В частности, для больших длин волн область устойчивости меньше, чем для малых, вопреки асимптотическому результату [1], где для таких длин волн граница области устойчивости не зависела от M и определялась неравенством $L \leq 1$.

Поправочные коэффициенты $\beta_{1,2}$ в (17) не меняют граничных значений $M(L=0)=M_*$ и $M(L=1)=0$. Ввиду уменьшения M_1 с ростом α можно сделать вывод, что при $\alpha > 0$ область устойчивости несколько расширяется для промежуточных значений $0 < L < 1$.

В заключение обращаем внимание на некоторую условность граничного условия (5) и его возмущенной формы (12), а вместе с ним и соответствующего граничного условия [1] и его возмущенного представления. На самом деле, следовало бы использовать выражение

$$\delta j = \rho_1 \delta u_1 = \rho_2 \delta u_2 = j \delta T_{1,-0} / (2M \Delta T_1), \quad (18)$$

где $\delta u_{1,2} = u'_{1,2} - \partial \xi' / \partial t$. К сожалению, учет движения чрезвычайно усложняет решение задачи из-за неоднородных стационарных распределений T_1 , ρ_1 и u_1 .

Однако в случае $\Delta T_1 / T_{1,-\infty} \rightarrow 0$, когда $\rho_1 \rightarrow \rho_2$, можно убедиться, что возмущение скорости тоже исчезает, и получается задача о диффузионно-тепловой устойчивости. Тогда из (18) следует граничное условие

$$-1/u \cdot \partial \xi' / \partial t = 1/2M \cdot \delta T_{1,-0} / \Delta T_1, \quad (19)$$

заменяющее модельное условие (12). Не приводя аналогичных выкладок, дадим конечное выражение при $\alpha = 1$

$$M = M_1 = \frac{1/v_3 - 1/v_1}{2v_1} = M_2 = \frac{v_1}{2u_1^2} \left[(v_1 - 1) - \frac{v_3 - 1}{L} \right], \quad (20)$$

заменяющее представления (17) при $\mu = 1$. Расчеты по (20) для точек 3 и 5 показаны на рисунке штрихом. Видно, что разница между модельным решением (17) и точным (20) мала для длинноволновых возмущений и существенна для коротковолновых, причем для последних точное решение дает большую область устойчивости.

Государственный научно-исследовательский
энергетический институт
им. Г. М. Кржижановского,
Москва

Поступила в редакцию
17/III 1975

ЛИТЕРАТУРА

1. Г. И. Баренблатт, Я. Б. Зельдович, А. Г. Истратов. ПМТФ, 1962, 4, 21.
2. Я. Б. Зельдович. ЖФХ, 1948, 22, 1.

ВЛИЯНИЕ ВХОДНОГО ИМПЕДАНСА РЕЗОНАТОРА, УСТАНОВЛЕННОГО В ТОРЦЕ ТРУБЫ, НА ПАРАМЕТРЫ ВИБРАЦИОННОГО ГОРЕНИЯ

В. И. Кондратьев, А. Л. Сушков, А. В. Римский-Корсаков

Разработке физических основ вибрационного горения и поиску технических решений как для подавления режимов вибрационного горения, так и для их организации уделяется большое внимание. Извест-